



## Forecasting the vulnerability of Khash City due to storm hazard by Gamble Method and Partial Series

**Omid Pirian Kalat<sup>a</sup>, Javad Jamshidzehi<sup>b</sup>, Keramatollah Ziari<sup>c\*</sup>, Reza Shafie Kenari<sup>d</sup>**

<sup>a</sup> MSc in Regional Planning, Department of Architecture and Urban Planning, Shahid Beheshti University, Tehran, Iran.

<sup>b</sup> MSc in Natural Environmental Hazards, Faculty of Geographical Sciences, Sistan and Baluchestan University, Zahedan, Iran.

<sup>c</sup> Professor in Geography and Urban Planning, Faculty of Geography, Department of Human Geography and Planning, University of Tehran, Tehran, Iran.

<sup>d</sup> MSc in Regional Planning, Department of Architecture and Urban Planning, Shahid Beheshti University, Tehran, Iran.

**Received: 3 March 2023**

**Revised: 23 April 2023**

**Accepted: 3 June 2023**

### Abstract

This study aims to predict the vulnerability caused by hurricane crises and highlights the importance of effective crisis management in Khash City. Using a storm threshold speed of 15 m/s, the monthly, seasonal, and annual wind patterns of Khash City were analyzed with WRPLOT 8.0.2 software. To predict storm return periods for intervals ranging from 1 to 100 years, the Gumbel method and partial series method were applied based on the latest recorded data (1986–2018).

The analytical results revealed that storm return periods were predicted with greater intensity using the partial series method compared to the Gumbel method. For the 100-year return period, the Gumbel method estimated the most severe monthly storms with intensities of 29.1 m/s, while the partial series method predicted stronger storms with intensities of 32.2 m/s, 31.7 m/s, and 30.4 m/s.

The results suggest that the partial series method provides a more reliable prediction of hurricanes than the Gumbel distribution. This method's higher upper-limit estimates are particularly valuable for ensuring the safety of structures and for developing strategies to reduce human and financial losses. Consequently, the partial series method is recommended for hurricane prediction and optimal crisis management planning in Khash City.

**Keywords:** Hurricane Vulnerability Assessment, Crisis Management, Partial Series Method and Gumbel Distribution, Wind Speed Prediction, Risk Forecasting , Khash City.

\* . Corresponding author: Keramatollah Ziari Email: zayyari@ut.ac.ir Tel:+989121260602

**How to cite this Article:** Pirian Kalat, O., Jamshidzehi, J., Ziari, K. & Shafie Kenari, R (2024). Forecasting the Vulnerability of Khash City Due to Storm Hazard by Gamble Method and Partial Series. *Journal of Geography and Environmental Hazards*, 13(3), 339-366.





## پیش‌بینی خطرپذیری شهر خاش ناشی از مخاطره‌ی طوفان به روش گامبل و سری‌های جزئی

امید پیریان کلات - کارشناس ارشد برنامه‌ریزی منطقه‌ای - دانشگاه شهید بهشتی - تهران - ایران.

جواد جمشیدزه‌ی - کارشناس ارشد مخاطرات طبیعی - دانشگاه سیستان و بلوچستان - سیستان و بلوچستان - ایران.

کرامت‌الله زیاری<sup>۱</sup> - استاد گروه جغرافیای انسانی و برنامه‌ریزی - دانشکده جغرافیا - دانشگاه تهران - تهران - ایران.

رضا شفیع کناری - کارشناس ارشد برنامه‌ریزی منطقه‌ای - دانشگاه شهید بهشتی - تهران - ایران.

تاریخ دریافت: ۱۴۰۱/۱۲/۱۲ تاریخ بازنگری: ۱۴۰۲/۳/۱۳ تاریخ پذیرش: ۱۴۰۲/۲/۳

### چکیده

این مقاله با هدف پیش‌بینی خطرپذیری ناشی از بحران طوفان جهت ضرورت توجه به مدیریت بحران شهر خاش انجام شده است. با در نظر داشتن سرعت آستانه‌ای طوفان به مقدار ۱۵ متر بر ثانیه، گل طوفان‌های ماهانه، فصلی و سالانه شهر خاش با نرم‌افزار WRPLOT 8.0.2 ترسیم گردید. به روش گامبل و سری‌های جزئی به پیش‌بینی دوره‌های بازگشت طوفان ۱ تا ۱۰۰ ساله برای بازه زمانی ماهانه، فصلی و سالانه بر مبنای آخرین داده‌های ثبت شده (از سال ۱۳۹۷ تا ۱۳۶۵) پرداخته شد. نتایج تحلیلی با دو مدل فوق، نشان داد دوره‌های بازگشت طوفان به روش سری‌های جزئی با شدت بیشتر و به روش گامبل، با شدت کمتر پیش‌بینی شده است، در دوره بازگشت ۱۰۰ ساله شدیدترین طوفان‌های ماهانه خاش به روش گامبل با شدت‌های ۲۹ و ۱/۲۹ متر بر ثانیه بوده است؛ اما در روش سری‌های جزئی شدیدترین طوفان‌های ماهانه برای دوره بازگشت ۱۰۰ ساله با شدت‌های ۳۱/۷، ۳۲/۲ و ۳۰/۴ متر بر ثانیه است. روش سری‌های جزئی به سبب پیش‌بینی‌های حد بالاتر، که در اینمی سازه‌ها و کاهش خسارات جانی و مالی اهمیت دارد، روش مناسب‌تری نسبت به توزیع گامبل برای پیش‌بینی طوفان‌های خاش و برنامه‌ریزی جهت مدیریت بهینه بحران به نظر می‌رسد.

**کلیدواژه‌ها:** ارزیابی آسیب‌پذیری طوفان ، مدیریت بحران ، روش سری‌های جزئی و توزیع گامبل ، پیش‌بینی سرعت باد، پیش‌بینی ریسک، شهر خاش.

## ۱ - مقدمه

امروزه پیش‌بینی خطرپذیری شهری ناشی از مخاطرات طبیعی مانند سیل، زلزله، طوفان و... به دلیل مداخلات انسانی و تغییرات طبیعی- اقلیمی آشکار و ملموس شده است. ازانجاكه بیش از نیمی از جمعیت جهان در مناطق شهری زندگی می‌کنند و فرایند تمرکز جمعیت و فعالیت در مناطق شهری روزافزون شده است، پژوهش و تحقیق برای پیش‌بینی، پیشگیری و مدیریت بحران شهری یک اصل جهان‌شمول برای کاهش آسیب‌پذیری‌های اجتماعی، اقتصادی، کالبدی و ارتقا پایداری زیست‌محیطی به شمار می‌آید ( Piryan Kalat, 2023). برای حل چالش‌های زیست‌محیطی مانند تغییر اقلیم مهم است که به مسائل پایداری اجتماعی در سکونتگاه‌های شهری توجه شود ( Campbell, 1996; Pakzad, Kalat & Pirzaman, 2024 ). این رویکرد می‌تواند در توسعه پایدار راهبردی یک منطقه و شهر مؤثر باشد ( Wälitalo & Missimer, 2022 ). در چند دهه گذشته افزایش شهرگرایی و شهرنشینی منجر به تمرکز جمعیت در مناطق شهری مستعد مخاطرات محیطی و طبیعی، هم در کلان‌شهرها و هم در مراکز شهری کوچک و متوسط شده است ( Gencer, 2013 ). به طور مثال دو خطر ژئوفیزیکی<sup>۱</sup>، زلزله سال ۲۰۱۰ هائیتی<sup>۲</sup> و زلزله و سونامی سال ۲۰۰۴ اندونزی بیشترین تلفات ناشی از بلایای طبیعی را داشته‌اند. از سوی دیگر، انواع مخاطرات هیدرومتوژئیک<sup>۳</sup> نیز خطر غالب بوده‌اند که آسیا را عمدتاً با طوفان‌های استوایی و سیل، آفریقا با خشکسالی و اروپا را با تغییرات شدید دما و امواج گرما تحت تأثیر قرار داده است ( World Bank & UN, 2010 ).

افزایش فراوانی، مدت و حساسیت آستانه‌های اقلیمی بیانگر این است که حدود ۹۰ درصد از مخاطرات طبیعی که در جهان به وقوع می‌پیوندند در ارتباط مستقیم با اقلیم هستند و طوفان‌ها بعد از سیلاب حدود ۳۰ درصد از این مخاطرات را شامل می‌شوند. این پدیده هرساله خسارات مالی و جانی فراوانی را به جامعه تحمیل می‌کند ( Houghton, 1996; Tavosi & Raeispoor, 2011 )؛ که از نظر موقعیت جغرافیایی مخاطرات طبیعی مانند طوفان در مناطق خشک، نیمه‌خشک و بیابانی دنیا به فراوانی رخ می‌دهند ( Song, 2004 ).

<sup>1</sup> Geophysical hazards

<sup>2</sup> Haiti

<sup>3</sup> Hydro-meteorological hazards

(Pilehvar, Jamshidzehi & Pirean kalat, 2022) اما این طوفان‌ها فقط در مناطق منشأ رخ نمی‌دهند بلکه تا فواصل بسیار دورتر نیز حمل می‌شوند. در چند دهه اخیر به صورت فزاینده‌ای به پدیده طوفان با منشأ گردوغبار و با رویکرد مدیریتی توجه شده است (Liu et al., 2003)، این توجه به صورت مدیریت بحران و تجزیه و تحلیل خطرات و اثرات، هشدار و پیش‌بینی بوده است. از این‌رو مدیریت یکپارچه بحران برگردهم آوردن تمامی سطوح مدیریتی همچون مدیریت بحران شهری تمرکز داشته و ماهیت غیرقابل‌پیش‌بینی و غیرقابل‌کنترل خطرات طبیعی مانند طوفان را متذکر شده‌اند (Kapucu, Hawkins & Rivera, 2013; Coppola, 2006). مدیریت بحران در سراسر جهان، از دهه ۱۹۸۰ تحولی از سیاست‌های بازسازی پس از فاجعه به مراحل آمادگی و کاهش پیش از بحران نمود پیدا کرده است (Balamir, 2007). از آنجایی که هیچ مکانیزم مدیریت بحران کاملی در همه شهرها و کشورها وجود ندارد، دولت‌های مرکزی و محلی مجبورند راه حل‌هایی را دنبال کنند که تا حدودی توانایی آن‌ها را برای مقابله با بحران‌ها ارتقا بخشد (Ocal, 2021). این فرایند به کمک روش‌های علمی پیش‌بینی و مدل‌های کاربردی پیشگیری موجب کاهش خطرپذیری کانون‌های شهری و روستایی در شکل مدیریت بحران شده است؛ بنابراین روش‌های پیش‌بینی در زمان و شدت وقوع بلایا می‌تواند نقش قابل‌توجهی در کنترل خطرات ناشی از بحران‌ها و برنامه‌ریزی مناسب در جهت توسعه مناسب شهر، داشته باشد. بررسی‌ها نشان داده است حدود ۵۰ درصد از اراضی ایران خشک و بیابانی هستند و این مناطق در معرض طوفان و بادهای بسیار شدید است که مشکلات زیادی را در بخش زیرساختی و سکونتگاهی این نواحی پدید آورده است (Farajzadeh Asal & Alizadeh, 2010). استان سیستان و بلوچستان به دلیل موقعیت جغرافیایی و شرایط اقلیمی تحت تأثیر مخاطرات طبیعی مانند طوفان، سیل و... قرار دارد. شهر خاش نیز به عنوان یکی از مناطق متأثر از پدیده طوفان، نیازمند توجه به ضرورت پایداری کالبدی-اجتماعی و در راستای توسعه پایدار راهبردی، نیازمند مدیریت بحران است.

بررسی‌های اولیه نشان داد طوفان‌های شهر خاش از مهم‌ترین مخاطرات این شهرستان بوده که همواره سبب خسارات فراوان جانی و مالی شده است. این طوفان‌ها در دوره گرم سال همراه با گردوخاک و در دوره سرد سال غالباً با رطوبت و بارش‌های شدید همراه است؛ بنابراین پیش‌بینی خطرپذیری طوفان‌های شهر خاش جهت مدیریت بحران و در راستای پایداری کالبدی و اجتماعی، یک ضرورت بوده که مورد غفلت واقع شده

است، پژوهش حاضر با هدف پیش‌بینی دوره‌های خطرپذیری شهرخاش ناشی از بحران طوفان در شهر خاش به دو روش سری‌های جزئی و گامبل انجام گرفته است؛ این دو روش کاربردی از یک سو برای شناسایی زمان‌ دوره‌های آسیب‌زا و خطرآفرین و از سوی دیگر برای تعیین میزان سرعت خطرپذیری مهم به نظر می‌رسند. لذا نتایج این پژوهش، در کاربست مدیریت بحران شهری و منطقه‌ای در موقع پدیده طوفان در استان سیستان و بلوچستان و شهر خاش مؤثر است.

تاکنون در رابطه با مخاطرات محیطی و طبیعی مرتبط با موضوع این پژوهش مطالعات متعدد و متفاوتی در حوزه خارجی و داخلی انجام شده است؛ در حوزه مطالعات خارجی: یو (Yue, 2000) مدل لجستیکی گامبل را برای تجزیه و تحلیل توزیع حداقلی رخداد طوفان سالانه (حداقل شدت بارش) در استان توکوشیما<sup>۱</sup> ژاپن، پیشنهاد می‌کند. در این پژوهش پارامترهای توزیع، با استفاده از روش گشتاورها<sup>۲</sup> (MM) برآورد شدند. کوهنو و همکاران (Kohno et al., 2018) در پژوهشی به بررسی سیستمی برای پیش‌بینی طوفان پرداختند. نتایج تحقیقات ایشان نشان داد که برای مقابله با طوفان باید سیستم پیش‌بینی طوفان، هشدارهای مؤثر به شهروندان و مسائل مرتبط به طور سیستماتیک بهبود یابند. کیم و همکاران (Kim, Pan & Mase, 2019)، با استفاده از یک روش انتخاب سیستماتیک و عینی برای توسعه یک مدل پیش‌بینی طوفان مبتنی بر شبکه عصبی مصنوعی ANN-SFM<sup>۳</sup> با زمان ۵، ۱۲ و ۲۴ ساعت، کاربرد آن در ساکنی میناتو<sup>۴</sup> ژاپن را بررسی کردند. در کاربرد ANN-SFM در ساکای میناتو، مشخص شد که بهترین پیش‌بینی ۵ و ۱۲ ساعته با مناسب‌ترین مجموعه ۷۰ واحدی (تعداد نورون‌های پنهان) و مؤلفه‌های ورودی از سطح ایجاد می‌شود. در پیش‌بینی ۲۴ ساعته ANN-SFM مهم‌ترین پارامترهای ورودی که موجب بهبود نتایج شده‌اند: فشار سطح دریا، میزان کاهش فشار سطح دریا، طول و عرض جغرافیایی و بالاترین سرعت باد، می‌باشند. باجو (Bajo, 2020) با

<sup>1</sup> Tokushima

<sup>2</sup> Method of Moments

<sup>3</sup> Surge Forecast Model

<sup>4</sup> Sakai Minato area

استفاده از مدل تک بعدی کالمن فیلتر<sup>۱</sup> تلاش کرد که دقت پیش‌بینی طوفان در ونیز ایتالیا را بهبود دهد؛ در این مطالعه کاربرد روش پس‌پردازش برای اصلاح پیش‌بینی‌های تولید شده توسط یک مدل موج طوفان هیدرودینامیکی ارائه شد. روش کالمن فیلتر به سبب اجرای آسان، زمان محاسبات کم و نیاز به داده‌های ورودی کم ابزاری مهم و کاربردی برای این مطالعه است که در علوم آب و هواشناسی و اقیانوس‌شناسی ناشناخته است. در این مدل پیش‌بینی تا حدود دو روز قبل بهبود می‌یابد. نتایج وی نشان داد در مورد حوادث شدید، امکان به روزرسانی ساعتی برای ایجاد یک خطای کوچک در پیش‌بینی کوتاه‌مدت ضروری است.

Pourgholam Amiji, Ansari Ghojgarh, Bazrafshan, Liaghat & Araghinejad (پورغلام آمیجی و همکاران) (2020)، پژوهشی با هدف مقایسه عملکرد مدل‌های سری زمانی با روش‌های هوش مصنوعی، به منظور پیش‌بینی فراوانی روزهای طوفان گردوبغار<sup>۲</sup> (FDSD) در استان سیستان و بلوچستان به انجام رساندند. نتایج نشان داد که با کاهش فراوانی روزهای همراه با طوفان گردوبغار در ایستگاه‌های سراوان و خاش، مدل‌های سری زمانی عملکرد تقریباً مشابهی نسبت به روش‌های هوش مصنوعی دارند. کیانی و همکاران (Kiyani, Kiyani (2021)، احتمال وقوع طوفان‌های شدید را با استفاده از توزیع گامبل در شهرستان نهاوند استان همدان، بر اساس ۱۰ دوره زمانی از سال‌های ۱۳۷۵-۱۳۸۴ بررسی کردند؛ بر اساس شاخص بوفورت<sup>۳</sup> در دوره بازگشت ۵ ساله با سرعت ۲۶ متر بر ثانیه و بالاتر، احتمال وقوع طوفان در ایستگاه نهاوند وجود دارد. از سوی دیگر بیشترین رعدوبرق استان همدان در ایستگاه نهاوند رخ داده و بیشترین تعداد آن در فصل بهار است که در صورت تداوم طوفان خسارات فراوانی بجا خواهد گذاشت.

در حوزه پژوهش‌های داخلی نیز تحقیقات ارزشمندی تاکنون ارائه شده است: طاووسی و رئیسی‌پور (Tavosi & Raeispoor, 2011) با استفاده از مدل سری‌های جزئی، پیش‌بینی دوره‌های بازگشت طوفان را در دشت سیستان بررسی کردند؛ چنان که نتایج تحلیل، سرعت طوفان‌های شدید دشت سیستان در دوره بازگشت ۱۰۰

<sup>۱</sup>- Kalman filter که به عنوان تخمین خطی مرتبه دوم نیز از آن یاد می‌شود، الگوریتمی است که حالت یک سیستم پویا را با استفاده از مجموعه‌ای از اندازه‌گیری‌های شامل خطای طول زمان برآورد می‌کند. این فیلتر معمولاً تخمین دقیق‌تری را نسبت به تخمین بر مبنای یک اندازه‌گیری واحد را بر مبنای استنباط بیزی و تخمین توزیع احتمال مشترکی از یک متغیر تصادفی در یک مقطع زمانی ارائه می‌کند؛ این فیلتر از نام رودولف ای کالمن، یکی از پایه‌گذاران این تئوری گرفته شده است (Kalman, 1960).

<sup>۲</sup> Frequency of Dust Storm Days (FDSD)

<sup>۳</sup> Beaufort Index

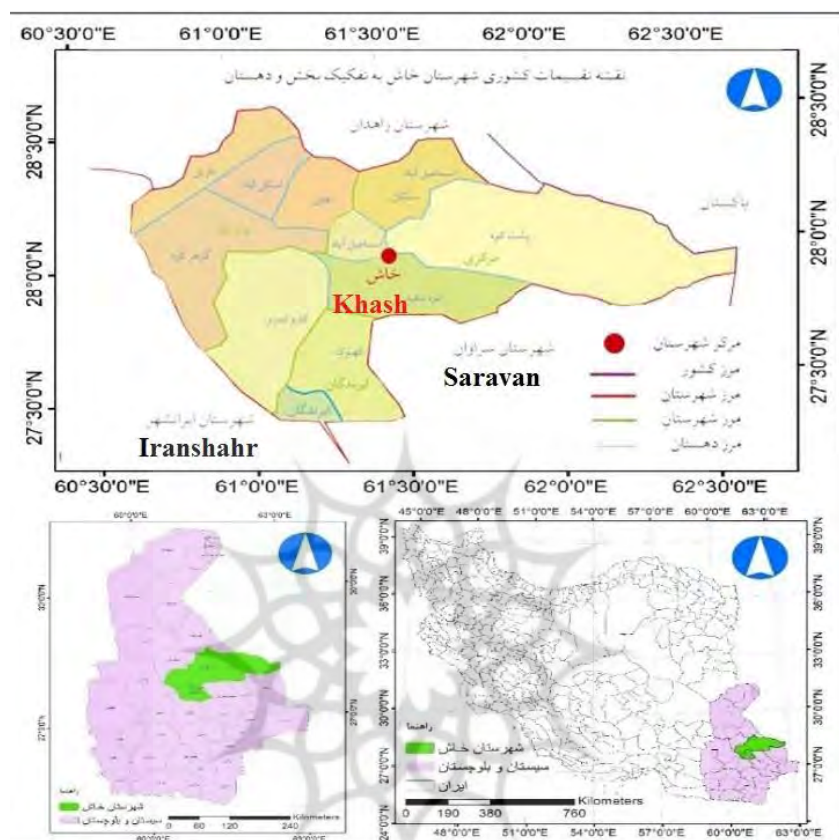
ساله نشان داد که وزش تندبادهایی با سرعت نزدیک به ۱۴۴ کیلومتر در ساعت، در دشت کم و بیش هموار سیستان محتمل است؛ بنابراین، در برنامه‌ریزی‌های شهری و منطقه‌ای و ایمن‌سازی سازه‌ها بایستی وقوع این مخاطره طبیعی را مدنظر قرار داد تا در صورت وقوع، خسارات وارد به حداقل ممکن کاهش یابد. خدابنده (Khodabandeh, 2012)، تندبادهای شرق اصفهان را بر پایه بررسی بیشینه روزانه سرعت باد با مدل آماری تجزیه و تحلیل سری‌های جزئی و نیز با استفاده از مدل ویبول بررسی کرده است. این پژوهش احتمال وزش بادهایی با سرعت ۲۰ تا ۳۰ متر بر ثانیه را برای منطقه شرق اصفهان پیش‌بینی کرده است. رئیسی‌پور و همکاران (Raeispoor, Beykrezaei & Tavoosi, 2013)، بیشینه روزانه سرعت باد در استان کرمانشاه را با روش تجزیه و تحلیل سری‌های جزئی تحلیل کرده‌اند؛ نتایج این پژوهش بیانگر این مهم است که: احتمال وزش بادهای شدید در هرسال با سرعتی دست‌کم برابر با ۱۸ متر در ثانیه در استان کرمانشاه نزدیک به ۱۰۰ درصد است. حسینی (Hosseini, 2012)، طوفان‌های ماسه‌ای منطقه سیستان را با روش همدید مورد مطالعه قرار داده، برای انجام این پژوهش از داده‌های اقلیمی شهرستان زابل استفاده گردید؛ نتایج پیش‌بینی‌ها نشان داد که: در هر دوره بازگشت ۱ ساله، احتمال وزش طوفان تا سرعت ۱۸/۸۳۵ متر بر ثانیه نزدیک به ۰/۵۰۰ درصد است. همچنین برای دوره بازگشت ۱۰۰ ساله بیشترین سرعت طوفان ۳۴/۳۴۷ متر بر ثانیه خواهد بود محمدخان (Mohammadkhan, 2017)، تغییرات طوفان‌های گردوغبار در ایران را برای بازه زمانی ۱۳۶۴–۱۳۸۴ مورد مطالعه قرار داد. نتایج مؤید آن است که به ترتیب با تبخیر، دما و بارش دارای همبستگی می‌باشند. ولی با ژئومورفولوژی و ارتفاع دارای همبستگی نمی‌باشند. دلیل این امر را می‌توان در منشأ خارجی ریزگردها، ارتفاع بالای حرکت آن‌ها و نقش رطوبت در نشست آن‌ها جستجو کرد.

## ۲- مواد و روش‌ها

### ۲-۱- منطقه مورد مطالعه

شهر خاش با ارتفاع ۱۳۹۴ متر از سطح آب‌های آزاد در جنوب شرق ایران واقع شده است. پس از تبدیل شدن بخش نوک‌آباد به شهرستان جدید تفتان، مساحت شهرستان خاش به حدود ۱۵۰۶۷ کیلومترمربع کاهش یافت. این شهرستان از شمال به شهرستان‌های میرجاوه و تفتان، از جنوب غرب و غرب به شهرستان ایرانشهر، از

جنوب و جنوب‌شرق به شهرستان‌های سراوان، سیب سوران و از شرق به کشور پاکستان محدود شده است (شکل ۱).



شکل ۱- موقعیت منطقه مورد مطالعه

Fig.1. The location of the study area

## ۲-۲ روش مطالعه

روش انجام پژوهش از نوع توصیفی-تحلیلی، و نوع آن کاربردی است. به منظور دستیابی به هدف پژوهش و آمار و اطلاعات موردنیاز در رابطه با موضوع مورد مطالعه به روش اسنادی-کتابخانه‌ای، اطلاعات گردآوری شد. داده‌ها مورداستفاده در این پژوهش شامل آخرین داده‌های بیشینه باد روزانه ایستگاه سینوپتیک شهر خاش می‌باشد که از سال ۱۳۶۵ تا ۱۳۹۷ به ثبت رسیده است (جدول ۱). تغییرات بیشینه باد شهر خاش نشان

می‌دهد که سرعت باد از دهه ۱۳۶۰ تا ۱۳۹۷ یعنی آخرین سالی که داده‌های سینوپتیکی ثبت شده، همواره در حال افزایش بوده است. این وضعیت در شکل شماره ۲ نشان داده می‌شود (شکل ۲).

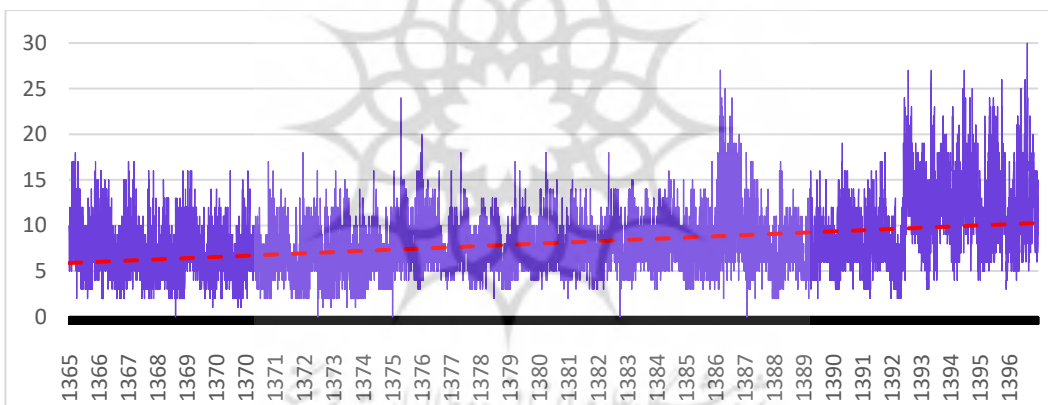
### جدول ۱- مشخصات ایستگاه هواشناسی شهر خاش

**Table 1-** The location of the Meteorological Station in Khash

نوع ایستگاه Type of station	طول دوره آماری The statistical period	ارتفاع .Elev	عرض جغرافیایی Latitude	طول جغرافیایی Longitude	نام ایستگاه Station name
سینوپتیک Synoptic	۱۹۸۶-۲۰۱۸	۱۳۹۴	۲۸° ۱۳'	۶۱° ۱۲'	خاش Khash

منبع: سازمان هواشناسی سیستان و بلوچستان، ۱۴۰۰

Source: Weather Organization of Sistan and Baluchestan 2021



شکل ۲- تغییرات بیشینه باد روزانه شهر خاش از سال ۱۳۶۵ تا ۱۳۹۷

(منبع: سازمان هواشناسی سیستان و بلوچستان، ۱۴۰۰)

**Fig.2.** Daily Maximum Wind Speed Changes in the City of Khash from 1986 to 2018

Source: Weather Organization of Sistan and Baluchestan 2021

طول بازه زمانی دوره موردمطالعه بر اساس داده‌های موجود از ۱۳۶۵/۰۲/۱۱ تا ۱۳۹۷/۰۶/۳۱ (۱۱۷۶۸ روز) می‌باشد که بر اساس آستانه سرعت طوفان بر اساس تعریف سازمان هواشناسی جهانی<sup>۱</sup> (۱۵ متر در ثانیه)، روزهای طوفانی شهر خاش استخراج می‌شود. صحت و همگنی داده‌ها با استفاده از آزمون دنباله‌ها (Run Test) انجام شد که تفسیر و نتایج آن در جدول ۲ آمده است.

<sup>۱</sup> World Meteorological Organization (WMO)

## جدول ۲- نتایج آزمون Run-Test برای داده‌های بیشینه سرعت باد روزانه شهر خاش (۱۳۹۷-۱۳۶۵)

**Table 2-** The results of the Run-Test for the maximum daily wind speed data of Khash city (1986-2018)

Max. wind speed بیشینه سرعت باد Based on (بر اساس میانگین) (mean)	Max. wind speed بیشینه سرعت باد Based on (بر اساس میانه) (median)	متغیرها پارامتر ارزیابی Evaluation parameter
8.0907	7.00	Test Value
7477	4350	Cases < Test Value
4291	7418	Cases >= Test Value
۸۸۸۸۸	11768	Total Cases
3302	3606	Number of Runs
۲۲۲۲۷۸	-37.172	Z
0.000	0.000	Asymp.Sig.(2-tailed)

توالی گردش‌ها تصادفی است  $H_0$

آزمون فرض:

توالی گردش‌ها تصادفی نیست  $H_1$

Number of Runs,

آماره آزمون:

$Z_{0.01}=2.327$

$R= Z=|Z|$

مقدار بحرانی:

چون  $|Z| > Z_{0.01}=2.327$  می‌باشد فرض  $H_0$  رد می‌شود. پس توالی گردش داده‌ها تصادفی نیست. پس از بررسی همگنی داده‌ها با استفاده از نرم‌افزار ترسیم گلباد، گل طوفان‌های فصلی شهر خاش ترسیم شده است. برای بررسی احتمال و پیش‌بینی رخداد طوفان از دو روش گامبل و سری‌های جزئی استفاده شده است.

تابع چگالی احتمال در روش گامبل (توزیع حد نهایی نوع اول)<sup>۱</sup> به صورت رابطه ۱ تعریف می‌شود (Yue, 2000; Mahdavi, 2006)

$$f(x) = \frac{1}{\alpha} \exp \left[ \pm \frac{x-b}{a} - \exp \left( \pm \frac{x-b}{a} \right) \right] \quad -\infty < x < +\infty \quad \text{رابطه ۱}$$

که احتمال تجاوز متغیر بیش از یک مقدار معین از رابطه ۲، تعیین می‌شود:

<sup>۱</sup> Extreme value type 1

$$F(x) = 1 - e^{-e^{-Y}} \quad \text{رابطه ۲.}$$

همچنین برای برآورد احتمال رخداد رویداد حدی در دوره‌های بازگشت مختلف از روابط  $۳$  و  $۴$

استفاده می‌شود:

$$X_{Tr} = \bar{X} + k.s \quad \text{رابطه ۳.}$$

$$y = -\ln \left[ -\ln \left( 1 - \frac{1}{T} \right) \right] \quad \text{رابطه ۴.}$$

برای انجام محاسبات در روش سری‌های جزئی نیز از روابط  $۵$  و  $۶$  استفاده می‌شود (Berndtsson & Panda, 2012; Mahdavi, 2006; Cunnane, 1979

$$\lambda(f) = \frac{M}{N} \quad \text{رابطه ۵.}$$

که در آن  $M$  تعداد داده‌های سری جزئی و  $N$  تعداد سال‌های آماری است. با در نظر گرفتن توزیع نمایی<sup>۱</sup>، مقدار  $\beta$  از رابطه زیر به دست می‌آید:

$$\beta = \sum_{i=1}^M (W_i - W_o)/M \quad \text{رابطه ۶.}$$

همچنین طوفان با دوره بازگشت موردنظر و متوسط سرعت طوفان‌ها از روابط  $۷$  و  $۸$  محاسبه می‌شود:

$$W_T = (W_o + (\beta \times \ln \lambda) + (\beta \times \ln T)) \quad \text{رابطه ۷.}$$

$$\bar{W} = (W_o + (\beta \times \ln \lambda) + (0.5772 \times \beta)) \quad \text{رابطه ۸.}$$

### ۳-نتایج و بحث

به منظور بررسی طوفان‌های شهر خاش ابتدا بادهای با سرعت پایه بیش از ۱۵ متر بر ثانیه طی بازه زمانی ۱۳۹۷-۱۳۶۵ برای ماه‌ها و فصول مختلف به تفکیک استخراج شد. سپس به بررسی آماری آنها پرداخته شد و گل طوفان‌های ماه‌های مختلف و فصول سال ترسیم و درنهایت نتایج پیش‌بینی آماری با دو روش گامبل و

<sup>۱</sup> Exponential distribution

سری‌های جزئی ارائه و تحلیل شد. بر اساس داده‌های موجود طی بازه زمانی ۱۳۶۵-۹۷ میانگین رخداد طوفان حدوداً ۲۰ روز در سال محاسبه گردید. همچنین ویژگی‌های آماری طوفان‌ها برای ماه، فصل و سال بر اساس آماره‌های فراوانی، میانگین، انحراف معیار، واریانس، چولگی، تیزی، کمینه و بیشینه با استفاده از نرم‌افزار SPSS 23 محاسبه شد، که نتایج در جدول ۳ نمایش داده شده‌اند.

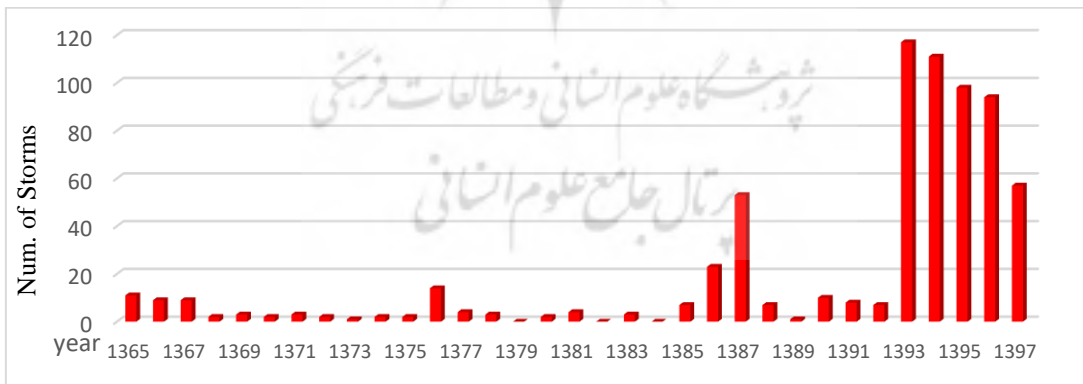
### جدول ۳- ویژگی‌های آماری طوفان‌های شهر خاش (۱۳۶۵-۱۳۹۷)

**Table 3- Statistical characteristics of storms in Khash City (1986-2018)**

ماه Month	بیشینه .Max	کمینه .Min	تیزی Kurtosis	چولگی Skewness	واریانس Variance	انحراف معیار Standar d deviation	میانگین Average wind speed	تعداد طوفان Num. of Storms	تعداد داده Num
فروردین Apr	22	15	-0.25	0.78	4.48	2.12	17.04	0.73	24
اردیبهشت May	27	15	-0.46	1.04	8.11	2.85	17.95	1.85	61
خرداد Jun	27	15	0.31	0.96	9.10	3.02	18.08	2.27	75
تیر Jul	27	15	0.16	0.98	9.25	3.04	18.11	2.55	84
مرداد Aug	30	15	6.35	2.33	8.04	2.84	17.10	2.55	84
شهریور Sep	24	15	3.00	1.73	4.86	2.20	16.97	2.15	71
مهر Oct	26	15	4.09	1.84	4.76	2.18	17.10	2.94	97
آبان Nov	21	15	-0.11	0.75	2.05	1.43	16.60	2.55	84
آذر Dec	20	15	0.73	1.19	1.96	1.40	16.38	1.12	37
دی Jan	19	15	0.05	0.96	1.56	1.25	16.00	0.58	19
بهمن Feb	23	15	0.60	1.14	6.23	2.50	17.69	0.39	13
اسفند Mar	22	15	1.69	1.42	3.96	1.99	16.80	0.61	20
زمستان Winter	27	15	0.51	1.03	8.07	2.84	17.88	4.85	160
بهار Spring	30	15	2.72	1.64	7.72	2.78	17.41	7.24	239
تابستان Summer	26	15	4.99	1.82	3.30	1.82	16.78	6.61	218

پاییز Fall سالانه	23 30	15 15	2.11 2.81	1.51 1.61	3.93 6.24	1.98 2.50	16.73 17.27	1.58 20.27	52 669
-------------------------	----------	----------	--------------	--------------	--------------	--------------	----------------	---------------	-----------

مطابق جدول ۳، در کل دوره آماری، ۶۶۹ مورد رخداد طوفان (سرعت بیش از ۱۵ متر بر ثانیه) در شهر خاش رخداد است که بیشترین رخداد طوفان در فصل بهار (۲۳۹ رخداد) و کمترین رخداد طوفان در فصل پاییز (۵۲ رخداد) به وقوع پیوسته است. همچنین بیشترین رخداد طوفان در ماه مهر (۹۷) و کمترین رخداد طوفان در ماه بهمن (۱۳) اتفاق افتاده است. شدیدترین طوفانها در تیر و ضعیفترین طوفانها در دی به وقوع پیوسته است. از نظر فصلی نیز به‌طور میانگین بیشترین رخداد طوفان در فصل بهار (۷/۲۴ مورد) و کمترین رخداد طوفان در فصل پاییز (۱/۵۸ مورد) بوده است. بازه فصلی زمستان شدیدترین طوفانها و پاییز ضعیف-ترین طوفانها را به‌طور میانگین تجربه کرده است. ولی در مجموع شدیدترین طوفان با سرعت ۳۰ متر بر ثانیه در ماه می (فصل بهار) رخداد است. شکل فراوانی رخداد طوفان در سال‌های مختلف نشان می‌دهد که در انتهای دوره آماری به‌طور چشمگیری رخداد طوفان افزایش یافته است، از سال ۱۳۹۲ تا انتهای دوره هرسال بیش از ۵۰ رخداد طوفان به وقوع پیوسته ولی قبل از آن فقط در سال ۱۳۸۷ تعداد طوفانها به بیش از ۵۰ مورد به ثبت رسیده و در سایر سال‌ها کمتر از ۱۰ مورد به وقوع پیوسته است (شکل ۳).



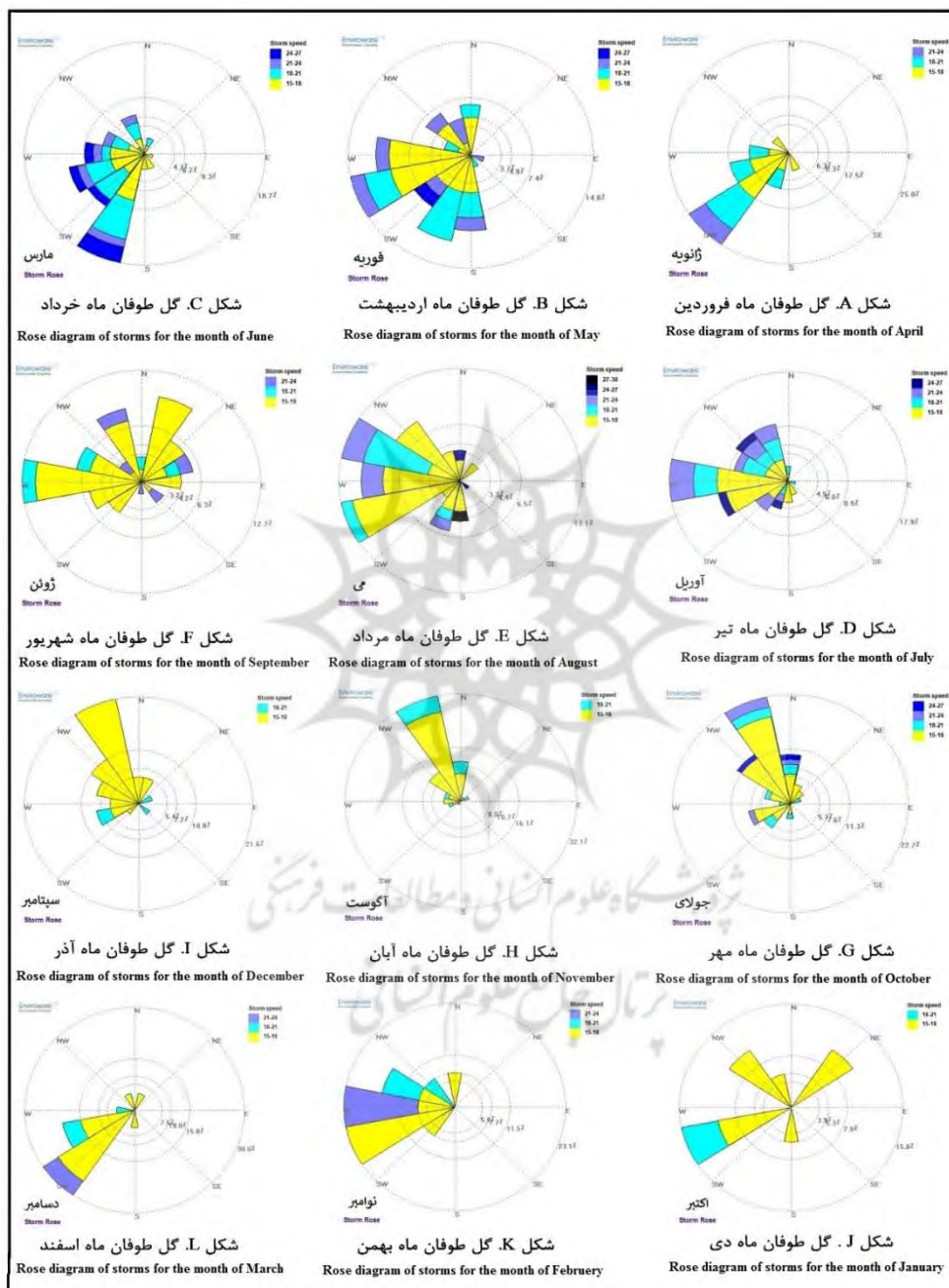
شکل ۳- فراوانی رخداد طوفان در شهر خاش (۹۷-۱۳۶۵)

Fig.3. Frequency of storm occurrences in Khash City (1986-2018)

بر اساس داده‌های سرعت باد بیش از ۱۵ متر بر ثانیه گل طوفان‌های ماهانه، فصلی و سالانه شهر خاش با نرم‌افزار WRPLOT 8.0.2 برای شدت و جهت وزش طوفان‌ها برای سال‌های مورد بررسی یعنی سال ۱۳۶۵ تا ۱۳۹۷ ترسیم شد.

در فروردین، جهت غالب وزش طوفان‌ها جنوب‌غربی است. همچنین شدیدترین طوفان‌ها نیز از همین جهت وزیده‌اند (شکل A<sup>۴</sup>). در اردیبهشت جهت وزش طوفان‌ها بین جهت جنوبی تا غربی متغیر است، در این ماه شدیدترین طوفان‌ها جهت جنوب‌غربی دارند و نیز وزش طوفان از سمت شمال و شمال‌غرب به وقوع پیوسته است (شکل B<sup>۴</sup>). در ماه خرداد، طوفان‌ها غالباً جهتی بین جنوب‌غرب تا شمال‌غرب دارند که فراوانی رخداد طوفان‌های جنوب‌سو بیشتر است (شکل C<sup>۴</sup>). در ماه تیر غالب طوفان‌ها از سمت غرب وزیده‌اند، لیکن وزش طوفان در جهات جنوب‌غربی تا شمال‌غربی نیز رخ داده که اتفاقاً در این جهات طوفان‌ها قوی‌تر بوده‌اند (شکل D<sup>۴</sup>). غالب طوفان‌های ماه مرداد در جهات بین جنوب‌غرب تا غرب و غرب تا شمال‌غرب وزیده‌اند. قوی‌ترین طوفان‌های این ماه از سمت جنوب و شمال وزیده‌اند (شکل E<sup>۴</sup>). تنوع جهت وزش طوفان‌ها در ماه شهریور بیشتر است، در این ماه تقریباً وزش طوفان از تمام جهات رخ داده ولی فراوانی رخداد طوفان از سمت غرب بیشتر است. شدیدترین طوفان‌ها جهت شمال‌غربی، شمال‌شرقی، جنوب‌شرقی و جنوبی را داشته‌اند (شکل F<sup>۴</sup>). در ماه‌های مهر، آبان و آذر بیشترین فراوانی رخداد طوفان از سمت بین شمال‌غرب تا شمال است. شدیدترین طوفان‌ها در ماه‌های مهر و آبان جهتی بین شمال‌غرب تا شمال دارند. به‌طور محدود از سمت جنوب‌غرب نیز طوفان‌های شدیدی وزیده‌است (شکل‌های G, H, I<sup>۴</sup>). ولی در آذر شدیدترین طوفان‌ها از سمت جنوب‌غرب، جنوب‌شرق و شمال‌شرق وزیده‌اند (شکل I<sup>۴</sup>). بیشترین و شدیدترین طوفان‌های ماه دی از جهت جنوب‌غرب تا غرب بوده است. این ماه که تقریباً آرام‌ترین ماه سال محسوب می‌شود، وزش طوفان از جهت‌های شمال‌غرب، شمال‌شرق و جنوب انجام شده است (شکل J<sup>۴</sup>). بیشترین فراوانی رخداد طوفان در ماه بهمن نیز از سمت غرب است، در این ماه، شدیدترین وزش طوفان بین جهت غرب تا شمال‌غرب می‌باشد. در این ماه به‌طور محدودتر از جهت‌های جنوب‌غربی، شمال‌غربی و شمال طوفان رخ داده است (شکل K<sup>۴</sup>). بیشترین فراوانی رخداد طوفان در ماه اسفند از سمت جنوب‌غرب و بعد از آن مابین جهات جنوب‌غرب تا غرب است. شدت وزش طوفان نیز در

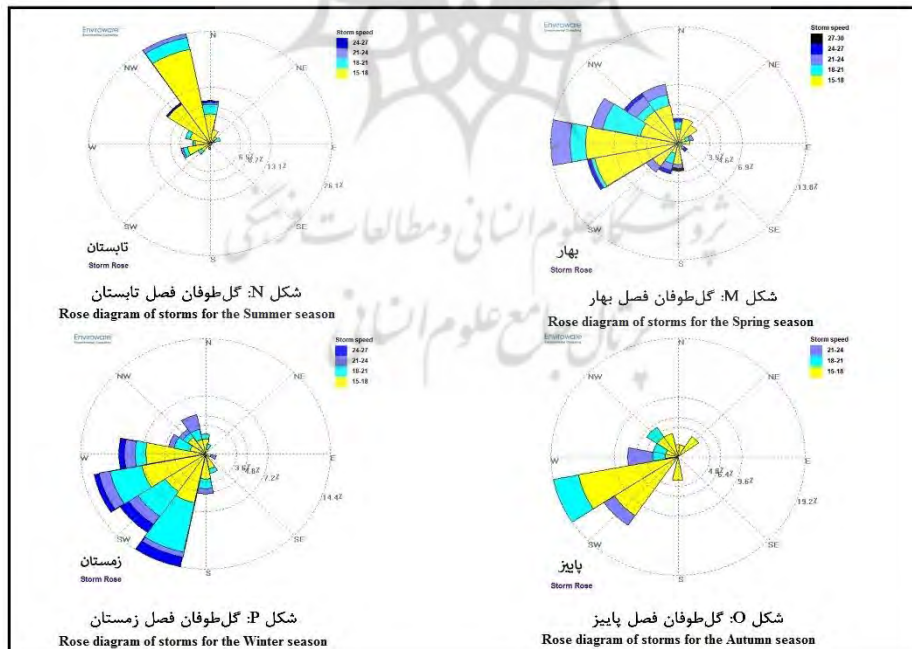
همین جهات مشاهده می‌شود. در این ماه به طور محدود از جهات دیگر نیز طوفان رخ داده است (شکل (L)).



شکل ۴- گل طوفان‌های شهر خاش در دوازده ماه سال (۱۳۶۵-۱۳۹۷)

**Fig.4.** Rose diagram of storms in Khash city across the twelve months of the year (1986-2018)

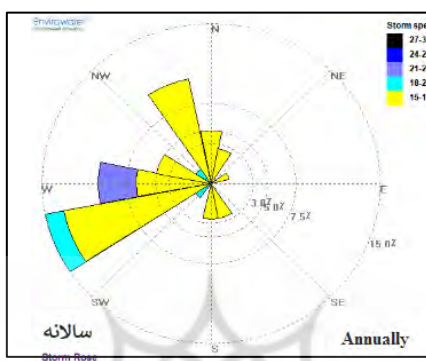
گل طوفان‌های فصلی و سالانه نیز بر اساس داده‌های ثبت شده بین سال‌های ۱۳۶۵ تا ۱۳۹۷ سرعت و جهت باد بیش از ۱۵ متر بر ثانیه ترسیم شده است. بر این اساس تنوع وزش طوفان در فصل بهار بسیار زیاد بوده و از تمام جهات تقریباً شهر خاش شاهد ورود طوفان است. لیکن جهت غالب طوفان‌ها در فصل بهار، غربی، جنوب‌غربی و شمال‌غربی است. با این وجود شدیدترین طوفان این فصل، که اتفاقاً شدیدترین طوفان شهر خاش طی دوره آماری محسوب می‌شود، از سمت جنوب وزیده‌اند (شکل M). در تابستان بیشترین فراوانی طوفان از سمت شمال غرب بوده، در این فصل از سمت‌های شمال، جنوب غرب و به‌طور محدود‌تر از بقیه جهات طوفان‌های ضعیفی به وقوع پیوسته است (شکل N). در فصل پاییز که آرام‌ترین فصل سال است، طوفان‌ها غالباً از سمت جنوب غرب می‌وزند ولی شدیدترین طوفان‌ها جهت غربی و جنوب‌غربی دارند (شکل O). فصل زمستان که منطبق بر ورود هوای سرد و بارندگی است، با افزایش فراوانی طوفان‌ها همراه بوده، در این فصل غالب طوفان‌ها از سمت جنوب غرب و غرب می‌وزند، همچنین جهت وزش شدیدترین طوفان‌های این فصل نیز منطبق بر همین جهات است (شکل P).



شکل ۵- گل طوفان‌های شهر خاش در فصول چهارگانه (۱۳۶۵-۱۳۹۷)

**Fig. 5.** Rose diagram of storms in Khash city for the four seasons (1986-2018)

در مجموع گل‌طوفان سالانه شهر خاش بر اساس داده‌های ثبت شده (۱۳۶۵ تا ۱۳۹۷) نشان می‌دهد بیشترین فراوانی رخداد طوفان مطابق بر جهات جنوب‌غربی، شمال‌غربی و غرب است که منطبق بر جهت شدیدترین طوفان‌های شهر خاش نیز می‌باشد (شکل ۶).



شکل ۶- گل‌طوفان سالانه شهر خاش

**Fig. 6.** Annual rose diagram of stoorms in Khash City

۱-۴- پیش‌بینی آماری طوفان‌های خاش با روش گامبل پس از انجام محاسبات با روش توزیع گامبل برای بازه ماهانه، فصلی و سالانه، احتمال و دوره بازگشت ۱، ۲، ۵، ۱۰، ۲۰، ۵۰ و ۱۰۰ ساله طوفان‌ها با شدت مختلف به دست آمد که نتایج در جداول ۴ و ۵ نمایش داده‌اند. در دوره بازگشت یک ساله طوفان، در هیچ ماهی طوفان (سرعت ۱۵ متر بر ثانیه و بیشتر) نخواهد بود. ولی در دوره بازگشت دو ساله در همه ماه‌ها احتمال رخداد طوفان وجود دارد. شدیدترین طوفان برای دوره بازگشت ۱۰۰ ساله برای ماه تیر، با سرعت ۲۹/۱ متر بر ثانیه محاسبه شد. ماه‌های اردیبهشت تا مرداد، پتانسیل رخداد شدیدترین طوفان‌ها را در شهر خاش دارند و ماه‌های دی، آذر و آبان، آرام‌ترین ماه‌های سال در شهر خاش هستند.

جدول ۴- پیش‌بینی طوفان‌های ماهانه شهر خاش در توزیع گامبل

**Table 4-** Monthly storm prediction for Khash city in the Gumbel distribution

ماه	Probability	احتمال ۱	٪ ۲	٪ ۵	٪ ۱۰	٪ ۲۰	٪ ۵۰	٪ ۹۹
-----	-------------	----------	-----	-----	------	------	------	------

Month Return Period(yr)	دوره بازگشت (سال)						
	100	50	20	10	5	2	1
Apr. فروردین	24.7	23.4	21.6	20.3	18.9	16.7	12.8
May اردیبهشت	28.3	26.5	24.1	22.3	20.4	17.5	12.2
Jun. خرداد	29	27.1	24.6	22.7	20.7	17.6	12
Jul. تیر	29.1	27.2	24.7	22.8	20.7	17.6	11.9
Aug. مرداد	27.4	25.6	23.3	21.4	19.5	16.7	11.4
Sep. شهریور	24.9	23.6	21.7	20.3	18.9	16.6	12.5
Oct. مهر	25	23.6	21.8	20.4	19	16.8	12.7
Nov. آبان	21.8	20.9	19.7	18.8	17.8	16.4	13.7
Dec. آذر	21.4	20.6	19.4	18.5	17.6	16.2	13.5
Jan. دی	20.5	19.7	18.7	17.9	17.1	15.8	13.5
Feb. بهمن	26.8	25.2	23.1	21.5	19.8	17.3	12.6
Mar. اسفند	24	22.8	21.1	19.8	18.5	16.5	12.8

نتایج محاسبات بازه زمانی فصلی و سالانه نشان داد که در دوره بازگشت ۱ ساله احتمال رخداد طوفان وجود ندارد و عملاً از دوره بازگشت ۲ ساله می‌توان شاهد رخداد طوفان بود. از نظر فصلی در دوره بازگشت ۱۰۰ ساله شدیدترین طوفان‌ها در زمستان و بهار و کم شدت‌ترین طوفان‌ها در فصل تابستان به وقوع خواهد پیوست. در زمستان که رخداد طوفان‌ها گاه همراه با بارش شدید است و احتمال رخداد توaman طوفان و سیلاب وجود دارد که اهمیت مخاطره را دو چندان خواهد کرد. لذا این محاسبات پایه علمی مناسبی برای برنامه‌ریزی و همچنین انطباق مقاومت انواع سازه با شدت آن می‌باشد تا از این طریق میزان خسارات به حداقل برسد.

#### جدول ۵- پیش‌بینی طوفان‌های فصلی و سالانه شهر خاش در توزیع گامبل

Table 5- Prediction of seasonal and annual storms in Khash city using the Gumbel distribution

فصل و سال Season & year	Probability احتمال (سال) (Return period yr)	٪ ۱ ٪ ۲ ٪ ۵ ٪ ۱۰ ٪ ۲۰ ٪ ۵۰ ٪ ۹۹						
		100	50	20	10	5	2	1
		Winter زمستان	28.2	26.4	24.0	22.2	20.3	17.4
Spring بهار	27.5	25.8	23.5	21.7	19.8	17	11.8	
Summer تابستان	23.4	22.2	20.7	19.6	18.3	16.5	13.1	
Autumn پاییز	23.9	22.7	21	19.8	18.4	16.4	12.7	
Annually سالانه	26.3	24.8	22.7	21.1	19.4	16.9	12.2	



### ۲-۳- پیش‌بینی آماری طوفان‌های خاش با روش سری‌های جزئی

با انجام محاسبات به کمک معادلات روش سری‌های جزئی برای بازه ماهانه، فصلی و سالانه، احتمال و دوره بازگشت ۱، ۲، ۵، ۱۰، ۲۰، ۵۰ و ۱۰۰ ساله طوفان‌ها با شدت مختلف به دست آمد. پارامترهای محاسبه روش سری‌های جزئی برای بازه زمانی ماهانه در جدول ۶ نشان داده شده است. بیشترین طوفان‌ها در ماههای مهر، تیر، مرداد و آبان و کمترین آن در ماههای بهمن، دی، اسفند و فروردین اتفاق افتاده است.

**جدول ۶- محاسبه پارامترهای سری جزئی برای بازه زمانی ماهانه شهر خاش**

**Table 6- Calculation of partial series parameters for the monthly time period of Khash city**

ماه Month	تعداد طوفان Number of Storms	$\lambda$	$\beta$	$\beta * \ln \lambda$	$\bar{W}$
Jul. تیر.	84	2.55	3.11	2.90	19.7
Aug. مرداد.	84	2.55	2.10	1.96	18.2
Sep. شهریور.	71	2.15	1.97	1.51	17.6
Oct. مهر.	97	2.94	2.10	2.27	18.5
Nov. آبان.	84	2.55	1.60	1.49	17.4
Dec. آذر.	37	1.12	1.38	0.16	16.0
Jan. دی.	19	0.58	1.00	-0.55	15.0
Feb. بهمن.	13	0.39	2.69	-2.51	14.0
Mar. اسفند.	20	0.61	1.80	-0.90	15.1
Apr. فروردین.	24	0.73	2.04	-0.65	15.5
May اردیبهشت	61	1.85	2.95	1.81	18.5
Jun. خرداد.	75	2.27	3.08	2.53	19.3

در بازه زمانی ماهانه در ماههای دی، بهمن، اسفند و فروردین در دوره بازگشت یک ساله احتمال رخداد طوفان (سرعت ۱۵ متر بر ثانیه و بیشتر) وجود ندارد. ولی در سایر ماه‌ها احتمال رخداد طوفان وجود داشته، که شدیدترین آن در ماه تیر با سرعت ۱۷/۹ متر بر ثانیه می‌باشد. در دوره بازگشت دو ساله فقط در ماه بهمن احتمال رخداد طوفان وجود ندارد و در سایر ماه‌ها احتمال رخداد طوفان انتظار وجود دارد. برای دوره بازگشت ۲ ساله نیز احتمال وزش شدیدترین طوفان‌ها برای ماههای تیر و خرداد است. در کل شدیدترین طوفان‌ها برای دوره‌های بازگشت مختلف در ماههای تیر، خرداد و اردیبهشت و ضعیف‌ترین طوفان‌ها برای ماههای بهمن، دی، آذر و اسفند پیش‌بینی شد (جدول ۶).

### جدول ۷- پیش‌بینی طوفان‌های ماهانه شهر خاش به روش سری‌های جزئی

**Table 7-** Monthly storm prediction for Khash city using partial series method

ماه Month	Probability دورة بازگشت Return period	.99	.50	.20	.10	.5	.2	.1
		1	2	5	10	20	50	100
Jul. تیر.	17.9	20.1	22.9	25.1	27.2	30.1	32.2	
Aug. مرداد.	17.0	18.4	20.3	21.8	23.2	25.2	26.6	
Sep. شهریور.	16.5	17.9	19.7	21.1	22.4	24.2	25.6	
Oct. مهر.	17.3	18.7	20.7	22.1	23.6	25.5	27.0	
Nov. آبان.	16.5	17.6	19.1	20.2	21.3	22.7	23.8	
Dec. آذر.	15.2	16.1	17.4	18.3	19.3	20.5	21.5	
Jan. دی.	14.4	15.1	16.1	16.8	17.4	18.4	19.1	
Feb. بهمن.	12.5	14.4	16.8	18.7	20.6	23.0	24.9	
Mar. اسفند.	14.1	15.3	17.0	18.2	19.5	21.1	22.4	
Apr. فروردین	14.3	15.8	17.6	19.1	20.5	22.3	23.8	
May اردیبهشت	16.8	18.9	21.6	23.6	25.7	28.4	30.4	
Jun. خرداد.	17.5	19.7	22.5	24.6	26.8	29.6	31.7	

پارامترهای مورد نیاز برای برآورد شدت طوفان‌های فصلی و سالانه در جدول شماره [۸](#) نمایش داده شده است؛ بیشترین رخداد طوفان متعلق به فصل بهار و کمترین آن متعلق به فصل پاییز است.

### جدول ۸- محاسبه پارامترهای سری جزئی برای بازه زمانی فصلی و سالانه شهر خاش

**Table 8-** Calculation of partial series parameters for seasonal and annual time periods in Khash

فصل و سال Season & year	تعداد طوفان Number of Storms	A	B	$\beta * \ln A$	$\bar{W}$
Spring بهار	239	7.24	2.41	4.78	21.2
Summer تابستان	218	6.61	1.78	3.37	19.4
Autumn پاییز	52	1.58	1.73	0.79	16.8
Winter زمستان	160	4.85	2.88	4.54	21.2
سالانه Annually	669	20.27	2.27	6.82	23.1

در بازه زمانی فصلی و سالانه در تمام دوره‌های بازگشت احتمال رخداد طوفان وجود دارد. تقریباً در تمام دوره‌های بازگشت و احتمالات شدیدترین طوفان‌ها در فصل‌های زمستان و بهار اتفاق خواهد افتاد. بطوریکه

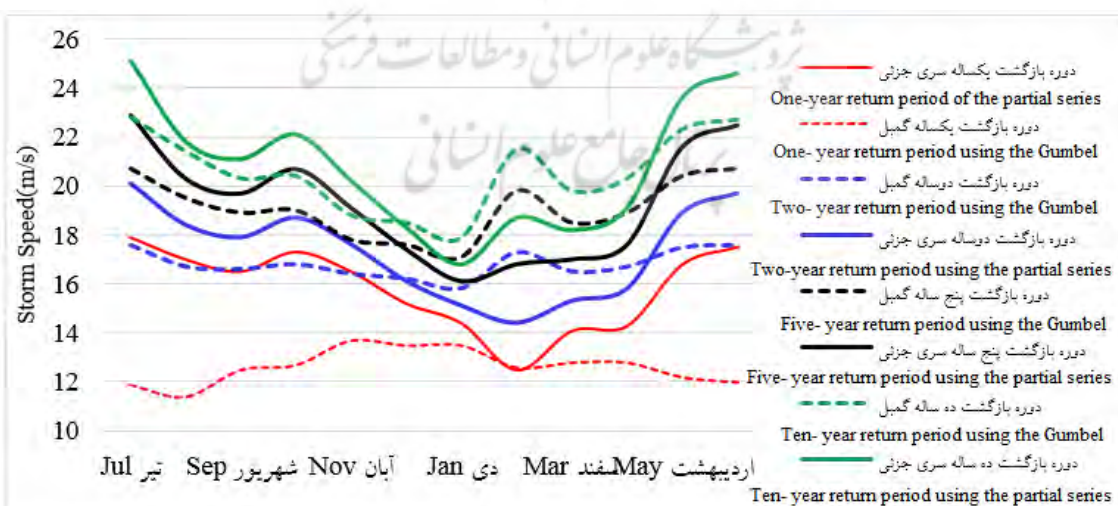
در دوره بازگشت ۱۰۰ ساله در فصل زمستان انتظار رخداد طوفان با شدت ۳۲/۸ متر بر ثانیه و در بهار احتمال رخداد طوفان با شده ۳۰/۹ متر بر ثانیه وجود دارد (جدول ۹).

جدول ۹- پیش‌بینی طوفان‌های فصلی و سالانه شهر خاش به روش سری‌های جزئی

**Table 9-** Prediction of seasonal and annual storms in Khash city using partial series method

فصل و سال Season & year	Probability دوره بازگشت (سال) Return period(yr)	احتمال احتمال						
		% 1	% 2	% 5	% 10	% 20	% 50	% 99
		1	2	5	10	20	50	100
زمستان	19.8	21.5	23.7	25.3	27	29.2	30.9	
بهار	18.4	19.6	21.2	22.5	23.7	25.3	26.6	
تابستان	15.8	17	18.6	19.8	21	22.6	23.8	
پاییز	19.5	21.5	24.2	26.2	28.2	30.8	32.8	
سالانه	21.8	23.4	25.5	27	28.6	30.7	32.3	

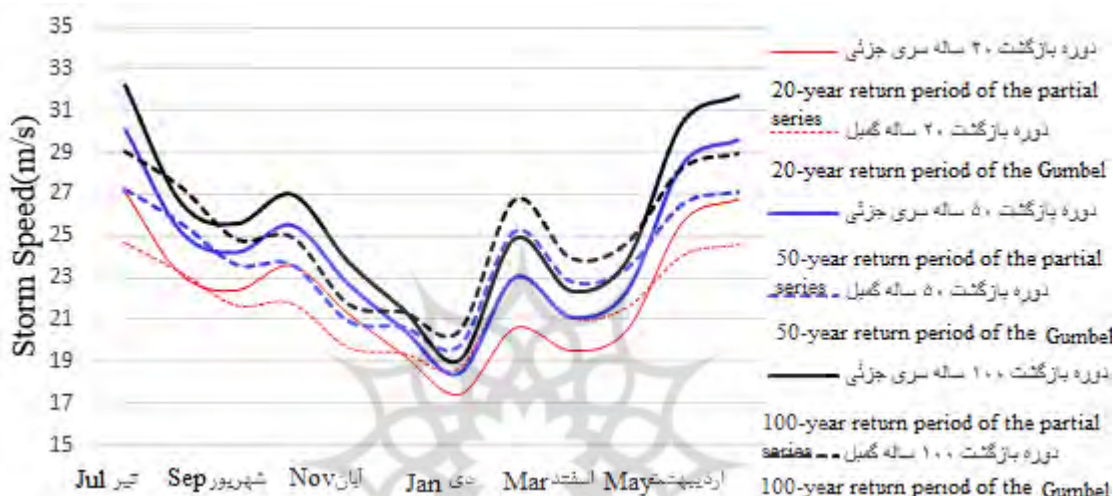
مقایسه نتایج ماهانه روش سری‌های جزئی و توزیع گامبل برای دوره‌های بازگشت ۱، ۲، ۵ و ۱۰ ساله در شکل ۷ نمایش داده شده است. در دوره بازگشت ۱ ساله فقط در ماه بهمن نتایج نزدیک به هم و در بقیه ماه‌ها روش سری جزئی مقادیر بالاتری را برآورد کرده است. در دوره بازگشت ۲ ساله از آذر تا فروردین توزیع گامبل مقادیر بالاتری را پیش‌بینی کرده و در بقیه ماه‌ها روش سری جزئی مقادیر بیشتری را برآورد نموده‌است. در دوره بازگشت ۵ ساله و ۱۰ ساله نیز شرایط مشابه دوره بازگشت ۲ ساله است؛ اما در مجموع مقادیر بالاتر حدی توسط روش سری جزئی پیش‌بینی شده است (شکل ۷).



شکل ۷- مقایسه نتایج ماهانه روش سری‌های جزئی و گامبل برای دوره‌های بازگشت ۱، ۲، ۵ و ۱۰ ساله

**Fig.7.** Comparison of monthly results using partial series method and Gumbel distribution for return periods of 1, 2, 5, and 10 years

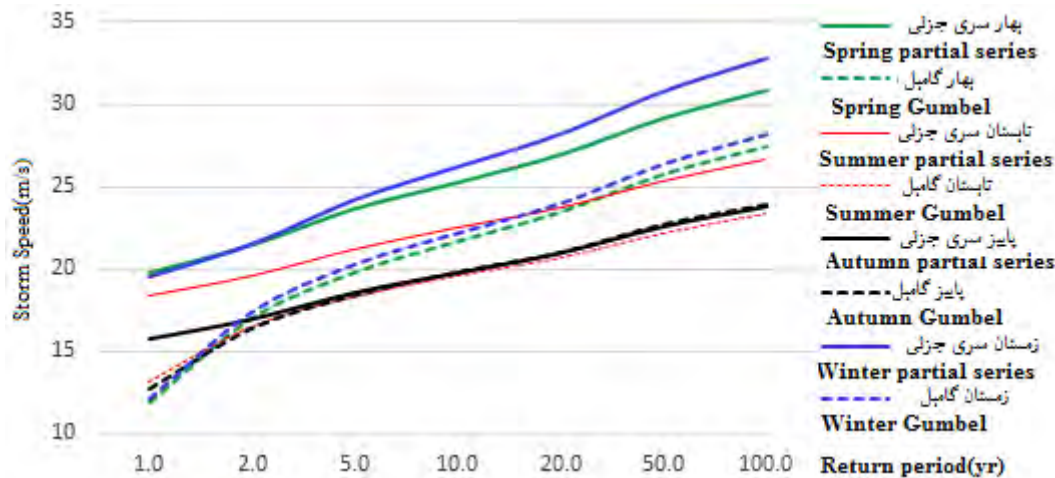
همچنین در دوره‌های بازگشت ۲۰، ۵۰ و ۱۰۰ ساله نیز بین ماههای آذر تا فروردین، توزیع گامبل مقادیر بالاتری پیش‌بینی نموده و در سایر ماهها روش سری جزئی مقادیر بالاتری را پیش‌بینی کرده است؛ نکته‌ی حائز توجه، مقادیر حدی است که مجدد توسط مدل سری جزئی مقادیر بالاتری را در تیر، خرداد و اردیبهشت برآورده است (شکل ۸).



شکل ۸- مقایسه نتایج ماهانه روش سری‌های جزئی و گامبل برای دوره‌های بازگشت ۲۰، ۵۰ و ۱۰۰ ساله

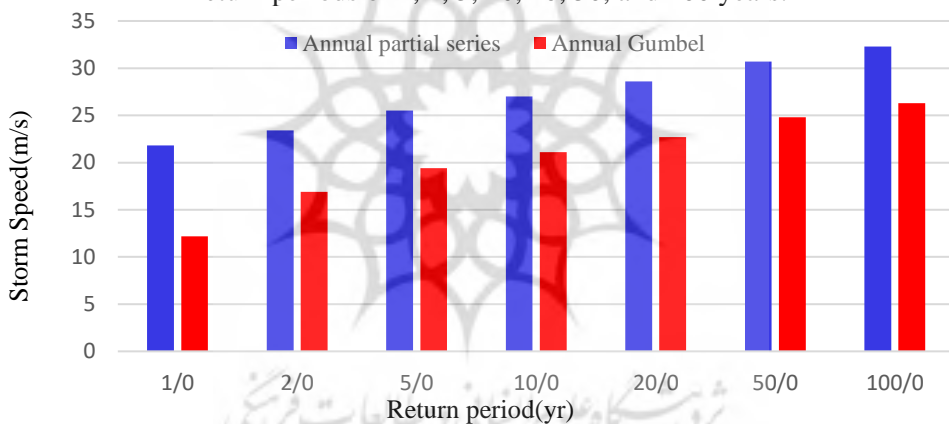
**Fig. 8.** Comparison of monthly results using partial series method and Gumbel distribution for return periods of 20, 50, and 100 years

نتایج پیش‌بینی فصلی اندکی متفاوت است. در فصل پاییز مقادیر دوره بازگشت یک ساله در توزیع گامبل کمتر از روش سری جزئی است. ولی در دوره‌های بازگشت دیگر نتایج تقریباً مشابه یکدیگر هستند. در بقیه فصول به‌طور آشکارتری، پیش‌بینی روش سری جزئی، مقادیر بالاتری را برآورده نموده است. فصل زمستان و بهار شدیدترین طوفان‌ها را در روش سری جزئی پیش‌بینی کرده‌اند (شکل ۹). در مقیاس سالانه نیز نتایج به همین منوال تکرار شده و روش سری جزئی مقادیر بالاتری را پیش‌بینی کرده است. البته در مقیاس سالانه در دوره بازگشت یک ساله اختلاف نتایج روش سری جزئی و توزیع گامبل چشمگیرتر است (شکل ۱۰).



شکل ۹- مقایسه نتایج فصلی روش سری‌های جزئی و گامبل برای دوره‌های بازگشت ۱، ۲، ۵، ۱۰، ۲۰، ۵۰ و ۱۰۰ ساله

**Fig. 9.** Comparison of seasonal results using partial series method and Gumbel distribution for return periods of 1, 2, 5, 10, 20, 50, and 100 years.



شکل ۱۰- مقایسه نتایج سالانه روش سری‌های جزئی و گامبل برای دوره‌های بازگشت ۱، ۲، ۵، ۱۰، ۲۰، ۵۰ و ۱۰۰ ساله

**Fig. 10.** Comparison of annual results using partial series method and Gumbel distribution for return periods of 1, 2, 5, 10, 20, 50, and 100 years.

#### ۴- جمع‌بندی

شهر خاش به سبب موقعیت جغرافیایی ویژه از توده‌های هوایی حاره‌ای و بروون‌حاره‌ای متأثر است. برخی از این توده‌های هوایی سبب وزش‌های طوفان‌های سهمگین می‌شوند. بر این اساس تعداد پدیده‌های گردوخاکی استان سیستان و بلوچستان بر اساس اطلاعات سازمان هواشناسی کشور در جداول ۱۰ و ۱۱ آمده است.

### جدول ۱۰- کدهای مرتبط با پدیده‌های گردوخاک

**Table 10- Codes related to dust storm phenomena**

Code definitions	تعریف کدها	Num.
گردوخاک معلق در هوای که در اثر طوفان شن و خاک نقاط خارج از ایستگاه به ایستگاه آمده است.		06
Suspended dust and sand in the air, brought to the station from outside areas by a dust storm.		
گردوخاک یا شنی که به وسیله باد در ایستگاه یا نزدیکی آن در ساعت دیدبانی بلند شده است.		07
Dust or sand that has been raised by the wind at the station or nearby during the observation hour		
طوفان گردوخاک در ساعت دیدبانی در اطراف ایستگاه		09
Dust storm at the observation hour around the station		
طوفان ملایم یا متوسط گردوخاک یا شن-طی ساعت گذشته از شدت طوفان کاسته شده است.		30
Mild or moderate dust or sand storm – the intensity of the storm has decreased during the past hour		
طوفان ملایم یا متوسط گردوخاک یا شن-طی ساعت گذشته شدت طوفان تغییر نکرده است.		31
Mild or moderate dust or sand storm – the intensity of the storm has remained the same during the past hour.		
طوفان ملایم یا متوسط گردوخاک یا شن-طی ساعت گذشته بر شدت طوفان افزوده شده است.		32
Mild or moderate dust or sand storm – the intensity of the storm has increased during the past hour.		
طوفان ملایم یا متوسط گردوخاک یا شن-طی ساعت گذشته شدت طوفان تغییر نکرده است.		33
Mild or moderate dust or sand storm – the intensity of the storm has remained the same during the past hour.		
طوفان ملایم یا متوسط گردوخاک یا شن-طی ساعت گذشته بر شدت طوفان افزوده شده است.		34
Mild or moderate dust or sand storm – the intensity of the storm has increased during the past hour.		

منبع: سازمان هواشناسی کشور، ۱۴۰۰

### جدول ۱۱- تعداد پدیده‌های گردوخاکی استان سیستان و بلوچستان طی دوره ۱۳۹۷-۱۳۶۵

**Table 11- Number of dust storm events in Sistan and Baluchestan province during the period of 1986-2018**

ایستگاه	Station	کدهای ۰۶ و ۰۷				کدهای ۰۹ و ۳۵ تا ۳۵				میانگین کل	جمع کل
		میانگین	Mean	مجموع	Sum	میانگین	Mean	مجموع	Sum		
Total Mean	Total Sum										
زابل	Zabol	697	28557	30	1224	667	27333				
Zahedan	Zahedan	220	9031	2	85	218	8946				
خاش	Khash	100	4095	0.8	33	99	4062				
سراوان	Saravan	110	4509	0.5	19	110	4490				
ایرانشهر	Iranshahr	145	5950	2.3	96	143	5854				
چابهار	chabahar	76	3105	0.05	2	76	3103				

طبق تعریف سازمان بین‌المللی استاندارد (ISO)، بحران به عنوان «وضعیت با سطح بالای از عدم اطمینان که فعالیت‌های اصلی و یا اعتبار یک سیستم را مختل می‌کند و نیاز به اقدام فوری دارد» تعریف می‌شود؛ بنابراین طوفان‌های حدی در شهر خاش به عنوان یک بحران این منطقه را تحت تأثیر قرارداده و سبب خسارت‌های مالی و گاه جانی می‌شوند. ازین رو اقدامات کاهشی در مدیریت قبل از وقوع بحران، به عنوان حیاتی‌ترین موضوع قابل توجه و پیگیری است. نتایج توصیف آماری داده‌ها اعم از میانگین، بیشینه و فراوانی و زش‌های بیش از ۱۵ متر بر ثانیه نشان داده که فصل‌های زمستان و بهار بیشترین فراوانی و شدت طوفان را دارند و پاییز آرام‌ترین فصل سال است. همچنین در بازه زمانی ماهانه تیر و خرداد بیشترین و ماههای بهمن و دی کمترین فراوانی و شدت طوفان را نشان دادند. نتایج ترسیم گل طوفان‌ها نشان داد که غالب طوفان‌های شهر خاش از سمت جنوب غرب وارد منطقه شده‌اند و پس از آن وزش‌های با جهت غربی، جنوبی و شمال غربی بیشترین فراوانی طوفان را داشته‌اند که بیانگر اثرات درون مرزی و ضرورت تدوین برنامه راهبردی مدیریت بحران برای استان‌های نیمه جنوبی با تاکید بر جنوب غربی کشور است؛ بنابراین طوفان‌های شهر خاش نتیجهٔ فعالیت سامانه‌های سودانی، غربی و گاه موسمی هستند که در فصل‌های منطبق بر آن‌ها طوفان‌ها غالباً رخداده و شدت گرفته‌اند. این وضعیت نیازمند همکاری‌های زیست‌محیطی فعال و چند جانبی کشورهای هم‌جوار در یک چشم انداز ۲۰ ساله است.

بررسی آماری دو روش پیش‌بینی توزیع گامبل و سری‌های جزئی، نشان داد روش سری‌های جزئی، دوره‌های بازگشت مختلف طوفان‌ها با شدت بیشتری و در روش گامبل شدت کمترپیش‌بینی شده‌اند؛ بنابراین روش سری‌های جزئی به سبب پیش‌بینی‌های حد بالاتر، روش مناسب‌تری نسبت به توزیع گامبل برای پیش‌بینی طوفان‌های شهر خاش می‌باشد. نتایج این پژوهش با نتایج پژوهش‌های (Tavosi & Raeispoor, 2011; Raeispoor et al., 2013; Khodabandeh, 2012) شدت طوفان‌ها در شهر خاش، ضرورت پیشگیری و برنامه‌ریزی راهبردی در سطوح محلی، منطقه‌ای و ملی را با تاکید بر پایداری کالبدی و اجتماعی دوچندان کرده است؛ بنابراین پیشنهاد می‌شود در سند توسعه و آمايش استان سیستان و بلوچستان و شهر خاش اقدامات اجرایی برای کاهش اثرات پدیده ماهانه و فصلی طوفان از سوی مدیران محلی و استانی در دستور کار قرار گیرد.

## References

- Bajo, M. (2020). Improving storm surge forecast in Venice with a unidimensional Kalman filter. *Estuarine, Coastal and Shelf Science*, 239, 106773. <https://doi.org/10.1016/j.ecss.2020.106773>
- Baker, A. J. (2014). *Lagrangian modelling of precipitation and speleothem proxy oxygen isotope systematics in the East Asian Summer Monsoon region*. Durham theses, Durham University. <http://etheses.dur.ac.uk/11460/>
- Balamir, M. (2007). Afet Riski ve Planlama Politikaları. *TMMOB Afet Sempozyumu Bildiriler Kitabı*, TMMOB, Ankara, ss. 31-43.
- Bhunya, P. K., Singh, R. D., Berndtsson, R., & Panda, S. N. (2012). Flood analysis using generalized logistic models in partial duration series. *Journal of Hydrology*, 420, 59-71. <https://doi.org/10.1016/j.jhydrol.2011.11.037>
- Campbell, S. (1996). Green cities, growing cities, just cities? Urban Planning and the Contradictions of Sustainable 706 Development. *Journal of the American Planning Association*, 62, 3, 296-312.
- Coppola, D. P. (2006). *Introduction to International Disaster Management*. Elsevier.
- Cunnane, C. (1979). A note on the Poisson assumption in partial duration series models. *Water Resources Research*, 15(2), 489-494. <https://doi.org/10.1029/WR015i002p00489>
- Farajzadeh Asal, M., & Alizadeh, Kh. (2010). Time and place analysis of dust storms in Iran. *Space Planning and Planning*, 15(1), 65-84. [In Persian] <http://hsmsp.modares.ac.ir/article-21-6166-fa.html>
- Gencer, E. A. (2013). Natural Disasters, Urban Vulnerability, and Risk Management: A Theoretical Overview. *The interplay between urban development, vulnerability, and risk management: A case study of the Istanbul metropolitan area*. Springer. [https://doi.org/10.1007/978-3-642-29470-9\\_2](https://doi.org/10.1007/978-3-642-29470-9_2)
- Hosseini, S. M. (2012). *Synoptic analysis of severe sandstorms in Sistan region*. Master's thesis. University of Sistan and Baluchestan. [In Persian]
- Houghton, J. T. (1996). *Climate change 1995: The science of climate change: contribution of working group I to the second assessment report of the Intergovernmental Panel on Climate Change* (2). Cambridge University Press.
- Kalman, R. E. (1960). A new approach to linear filtering and prediction problems. *Journal of Basic Engineering*, 82(1), 35-45. <https://doi.org/10.1115/1.3662552>
- Kapucu, N., Hawkins, C. V., & Rivera, F. I. (2013). Disaster preparedness and resilience for rural communities. *Risk, Hazards & Crisis in Public Policy*, 4(4), 215-233. <https://doi.org/10.1002/rhc3.12043>
- Khodabandeh, A. (2012). *Simultaneous analysis of strong winds in the east of Isfahan city*. Master's thesis. University of Sistan and Baluchestan. [In Persian]
- Kim, S., Pan, S., & Mase, H. (2019). Artificial neural network-based storm surge forecast model: Practical application to Sakai Minato, Japan. *Applied Ocean Research*, 91, 101871. <https://doi.org/10.1016/j.apor.2019.101871>

- Kiyani, S., Kiyani, V., & Behdarvand, N. (2021). Forecasting occur probability intense storm using Gumbel Distribution; Case study: Nahavand township. *Central Asian Journal of Environmental Science and Technology Innovation*, 2(6), 219-226. <https://doi.org/10.22034/CAJESTI.2021.06.01>
- Kohno, N., Dube, S. K., Entel, M., Fakhruddin, S. H. M., Greenslade, D., Leroux, M. D., ... & Thuy, N. B. (2018). Recent progress in storm surge forecasting. *Tropical Cyclone Research and Review*, 7(2), 128-139. <https://doi.org/10.6057/2018TCRR02.04>
- Lin, G. (2002). Dust storm in the 1930 and sand storm in 1999 in the USA. *Global Alarm, dust and sand storm from the world dry lands*, 160-170.
- Liu, M., Westphal, D. L., Wang, S., Shimizu, A., Sugimoto, N., Zhou, J., & Chen, Y. (2003). A high-resolution numerical study of the Asian dust storms of April 2001. *Journal of Geophysical Research: Atmospheres*, 108(D23). <https://doi.org/10.1029/2002JD003178>
- Mahdavi, M. (2006). *Applied Hydrology*. Tehran: Tehran University Press. [In Persian]
- Mohammadkhan, S. (2017). Status and trends of dust storms in Iran from 1364 to 1384. *Journal of Range and Watershed Management*, 70(2), 495-514. [In Persian] <https://doi.org/10.22059/jrwm.2017.123300.867>
- Ocal, A. (2021). Disaster management in Turkey: a spatial approach. *International Journal of Disaster Risk Management*, 3(1), 15-22. <https://doi.org/10.18485/ijdrm.2021.3.1.2>
- Pakzad, E., Kalat, O. P., & Pirzaman, Y. K. (2024). Comparative study of the state of sustainability between Iran and Turkey using the triangular sustainable development model. *Environmental Engineering & Management Journal*, 23(2), 331-344. <http://doi.org/10.30638/eemj.2024.027>
- Pilehvar, A. A., Jamshidzehi, J., & Pirean kalat, O. (2022). Capacity Assessment of the Vulnerability of Settlements in the Tahlab Watershed of Sistan and Baluchistan Through Accidental Floods. *Journal of Geography and Environmental Hazards*, 11(2), 193-218. [In Persian] <http://doi.org/10.22067/geoeh.2021.72667.1111>
- Piryani Kalat, O., Kamkar Ghorbanzadeh, R., Zamani, P., & Ziari, K. (2023). Evaluating and Identifying Potential Areas for the Construction of Industrial Parks in Urmia City. *Journal of Geography and Environmental Hazards*, 12(3), 217-240. [In Persian] <http://doi.org/10.22067/geoeh.2022.78283.1268>
- Pourgholam Amiji, M., Ansari Ghoghar, M., Bazrafshan, J., Liaghat, A., & Araghinejad, S. (2020). Comparing the Performance of SARIMA and Holt-Winters Time Series Models With Artificial Intelligence Methods in Dust Storms Forecasting (Case Study: Sistan and Baluchestan Province). *Physical Geography Research*, 52(4), 567-587. [In Persian] <https://doi.org/10.22059/jphgr.2021.303847.1007524>
- Raeispoor, K., Beykrezaei, E., & Tavoosi, T. (2013). Statistical Analyze and Predicting Incident Probability of Stormy and Strong Winds in Kermanshah Province. *Geography and Environmental Planning*, 24(3), 93-106. [In Persian] <https://doi.org/10.1001.1.20085362.1392.24.3.9.8>
- Song, Z. (2004). A numerical simulation of dust storms in China. *Environmental Modelling & Software*, 19(2), 141-151. [https://doi.org/10.1016/S1364-8152\(03\)00116-6](https://doi.org/10.1016/S1364-8152(03)00116-6)

- Tavosi, T., & Raeispoor, K. (2011). Statistical analysis and prediction of occurrence probability of violent. *Journal of Arid Regions Geographic Studies*, 1(2), 93-105. [In Persian] [https://jargs.hsu.ac.ir/article\\_161268.html?](https://jargs.hsu.ac.ir/article_161268.html?)
- Wälitalo, L., & Missimer, M. (2022) The Organization of Social Sustainability Work in Swedish Eco-Municipalities. *Sustainability*, 14(5), 2770. <https://doi.org/10.3390/su14052770>
- Wetphal, D. L. (2002). Status and Future of Dust Storm Forecasting, Available in naval research laboratory
- World Bank & UN. (2010). *Natural hazards, unnatural disasters: the economics of effective prevention*. Washington, DC: The International Bank for Reconstruction and Development.
- Yue, S. (2000). The Gumbel logistic model for representing a multivariate storm event. *Advances in Water Resources*, 24(2), 179-185. [https://doi.org/10.1016/S0309-1708\(00\)00039-7](https://doi.org/10.1016/S0309-1708(00)00039-7)

